



北京化工大学
Beijing University of Chemical Technology

信号与系统

第三章 信号的频域表达-傅里叶变换

主讲教师：袁洪芳

主要内容

CONTENTS



- 1 周期信号的傅里叶级数
- 2 典型周期信号的傅里叶级数
- 3 非周期信号的傅里叶变换
- 4 傅里叶变换的基本性质
- 5 傅里叶变换的卷积性质
- 6 周期信号的傅里叶变换
- 7 抽样信号的傅里叶变换
- 8 抽样定理及抽样信号的恢复

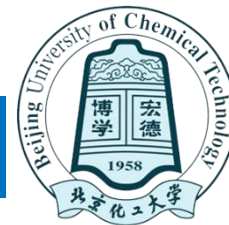


14

典型信号的傅里叶级数

- 对称信号傅里叶级数特点
- 周期矩形脉冲信号的傅里叶级数
- 信号的频带宽度





本节首先讨论傅里叶级数和信号对称性之间的关系

然后以周期矩形脉冲信号为例进行分析

主要讨论：频谱的特点，频谱结构，

频带宽度，能量分布。

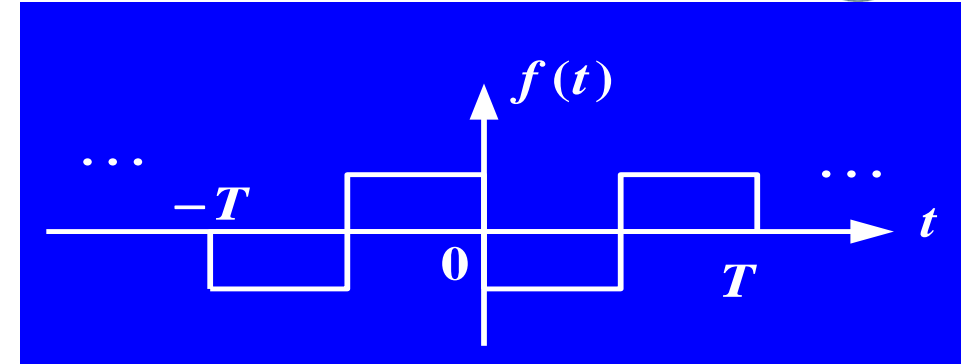
其他信号，如周期锯齿脉冲信号、周期三角脉冲信号

周期半波余弦信号、周期全波余弦信号请自学。



3.3.4 函数的对称性与傅里叶级数的关系

(1) 奇函数: $f(t) = -f(-t)$



$$a_0 = \frac{1}{T} \int_{-T/2}^{T/2} f(t) dt = 0$$

$$a_n = \frac{2}{T} \int_{-T/2}^{T/2} f(t) \cos n\omega_1 t dt = 0$$

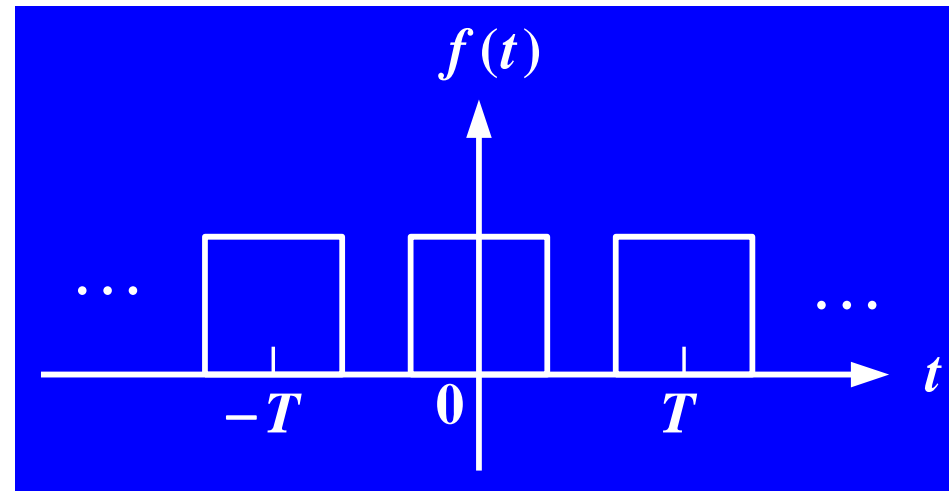
$$b_n = \frac{2}{T} \int_0^T f(t) \sin n\omega_1 t dt = \frac{4}{T} \int_0^{T/2} f(t) \sin n\omega_1 t dt \neq 0$$

$$F_n = F(n\omega_1) = \frac{1}{2} (a_n - jb_n) = \frac{1}{2} (-jb_n) \quad F(n\omega_1) \text{ 傅里叶级数是虚函数。}$$

3.3.4 函数的对称性与傅里叶级数的关系

(2) 偶函数: $f(t) = f(-t)$

$$b_n = \frac{2}{T} \int_{-T/2}^{T/2} f(t) \sin n\omega_1 t dt = 0$$



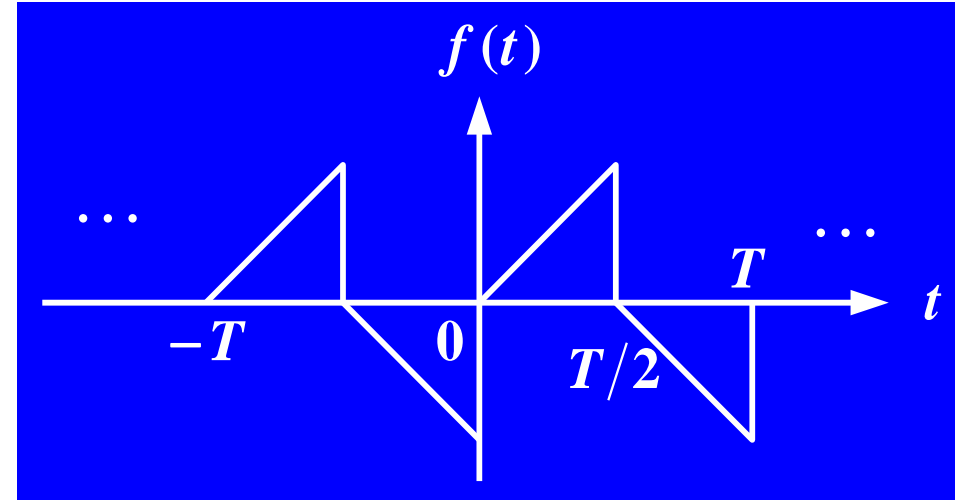
$$a_n = \frac{4}{T} \int_0^{T/2} f(t) \cos n\omega_1 t dt \neq 0 \quad F_n = F(n\omega_1) = \frac{1}{2} (a_n - jb_n) = \frac{1}{2} a_n$$

$F(n\omega_1)$ 傅里叶级数只有余弦分量，是实函数。

3.3.4 函数的对称性与傅里叶级数的关系

(3) 奇谐函数: $f(t) = -f\left(t \mp \frac{T}{2}\right)$

该信号只有奇次谐波的正弦和余弦分量
偶次谐波分量都是0



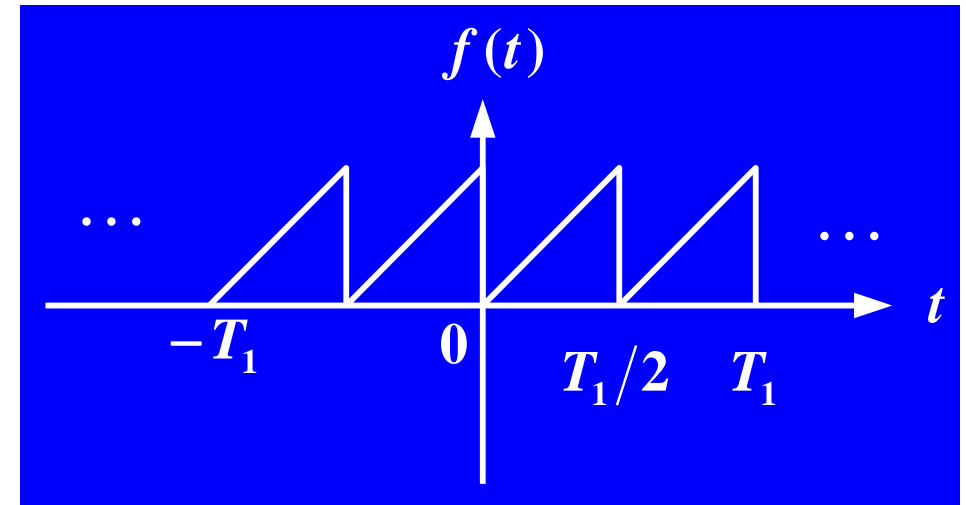
n 为偶数时: $a_n = \frac{2}{T} \int_{-T/2}^{T/2} f(t) \cos n\omega_1 t dt = 0$ $b_n = \frac{2}{T} \int_{-T/2}^{T/2} f(t) \sin n\omega_1 t dt = 0$

n 为奇数时: $a_n = \frac{4}{T} \int_0^{T/2} f(t) \cos n\omega_1 t dt$ $b_n = \frac{4}{T} \int_0^{T/2} f(t) \sin n\omega_1 t dt$

3.3.4 函数的对称性与傅里叶级数的关系

(4) 偶谐函数: $f(t) = f\left(t \mp \frac{T}{2}\right)$

该信号只有偶次谐波的正弦和余弦分量
奇次谐波分量都是0



$$n \text{ 为偶数时: } a_n = \frac{4}{T} \int_0^{T/2} f(t) \cos n\omega_1 t dt \quad b_n = \frac{4}{T} \int_0^{T/2} f(t) \sin n\omega_1 t dt$$

$$n \text{ 为奇数时: } a_n = b_n = 0$$

3.1.6 典型周期信号的傅里叶级数

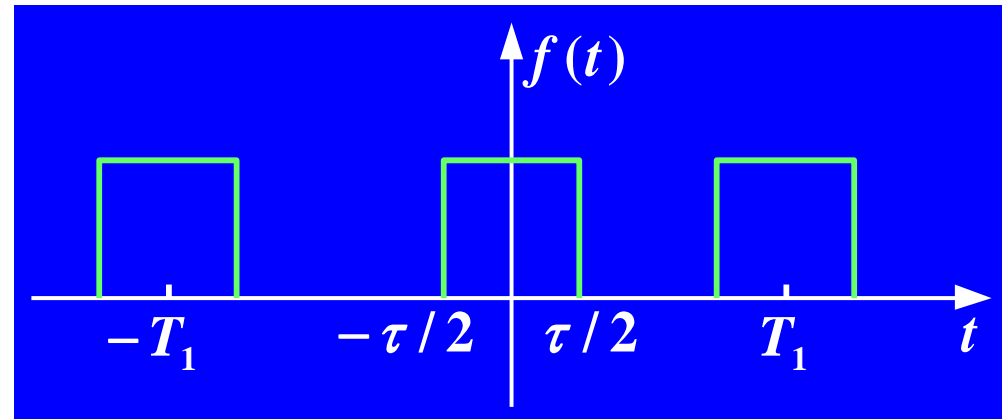
脉宽为 τ 、脉冲高度为 E 、周期为 T_1

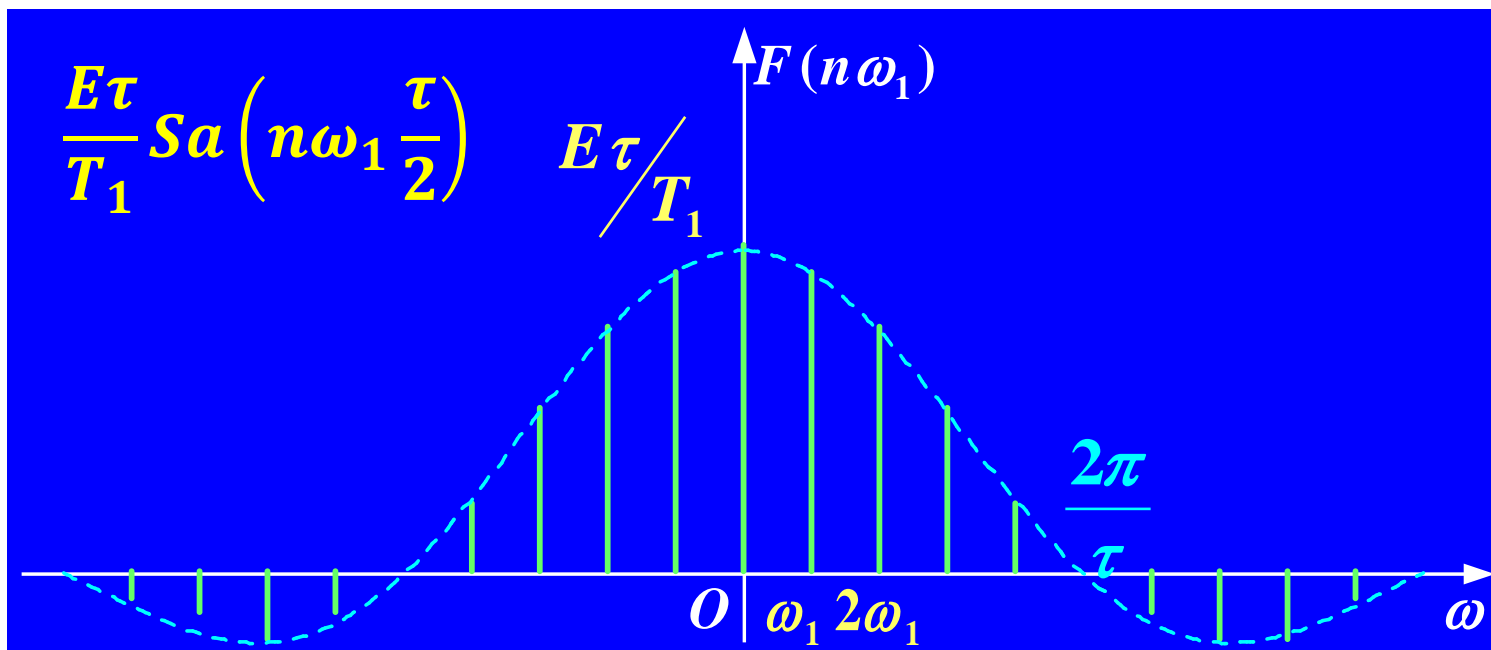
$f(t)$ 是偶函数 $b_n = 0$, 只有 a_0, a_n

$$F(n\omega_1) = \frac{1}{T_1} \int_{-T_1/2}^{T_1/2} f(t) e^{-jn\omega_1 t} dt$$

$$= \frac{1}{T_1} \int_{-\tau/2}^{\tau/2} E e^{-jn\omega_1 t} dt = \frac{E}{T_1} \frac{1}{-jn\omega_1} e^{-jn\omega_1 t} \Big|_{-\tau/2}^{\tau/2} = \frac{-E}{jn\omega_1 T_1} [e^{-jn\omega_1 \tau/2} - e^{jn\omega_1 \tau/2}]$$

$$= \frac{2E}{n\omega_1 T_1} \sin n\omega_1 \frac{\tau}{2} = \frac{E\tau}{T_1} \frac{\sin n\omega_1 \frac{\tau}{2}}{n\omega_1 \frac{\tau}{2}} = \frac{E\tau}{T_1} \text{Sa} \left(n\omega_1 \frac{\tau}{2} \right)$$





(1) 包络线形状：抽样函数

(2) 最大值在 $n = 0$ 处为 $\frac{E\tau}{T_1}$ 。

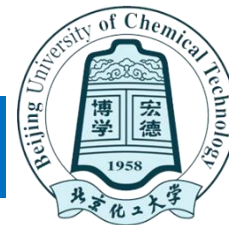
(3) 离散谱（谐波性）

(4) 第一个零点坐标： $\frac{2\pi}{\tau}$

(5) $F(n\omega_1)$ 一般是复函数（此处为实函数），幅度/相位

$F_n > 0$ ，相位为 0 ， $F_n < 0$ 相位为 $\pm \pi$ 。

3.1.6 典型周期信号的傅里叶级数



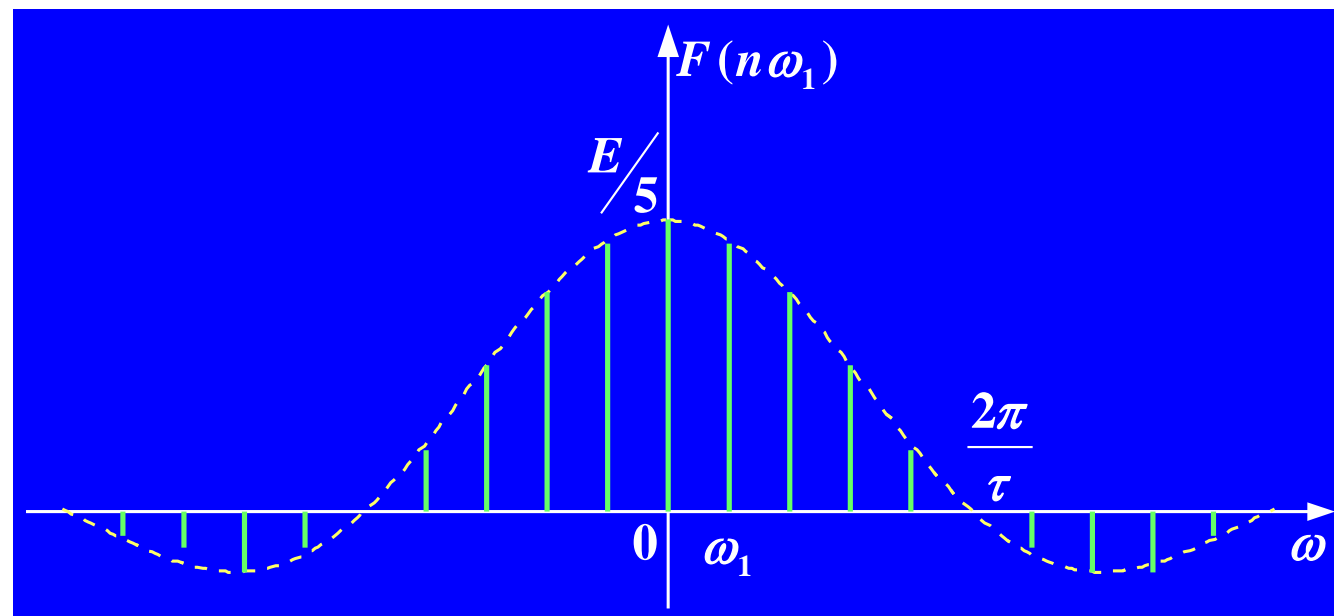
$$(1) \quad \tau = \frac{1}{20} s, T_1 = \frac{1}{4} s$$

$$F(n\omega_1) = \frac{E\tau}{T_1} \text{Sa}\left(n\omega_1 \frac{\tau}{2}\right) = \frac{E}{5} \text{Sa}\left(\frac{n\pi}{5}\right)$$

$$\omega_1 = \frac{2\pi}{T_1} = 8\pi$$

$$\text{第一个零点: } \omega = n\omega_1 = \frac{2\pi}{\tau} = 40\pi$$

$$\text{第一个零点内谱线数 } n = \frac{40\pi}{\omega_1} = \frac{40\pi}{8\pi} = 5, \text{ 即五次谐波为0。}$$



3.6 典型周期信号的傅里叶级数

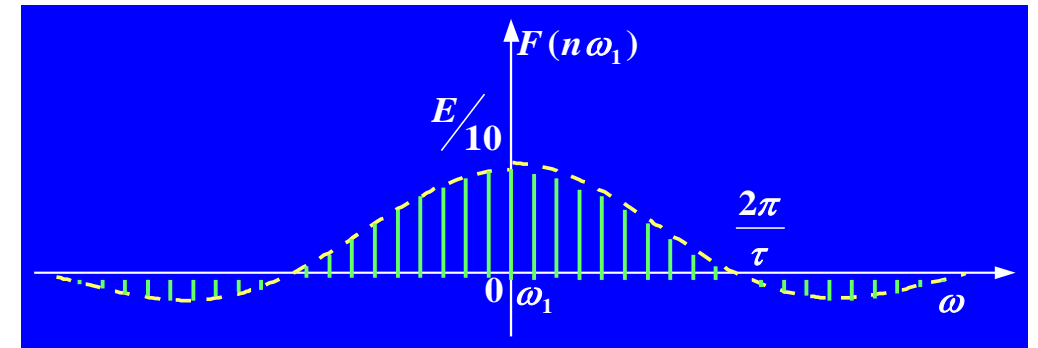
$$(2) \tau = \frac{1}{20} s, \quad T_1 = \frac{1}{2} s$$

$$F(n\omega_1) = \frac{E\tau}{T_1} \text{Sa}\left(n\omega_1 \frac{\tau}{2}\right) = \frac{E}{10} \text{Sa}\left(\frac{n\pi}{10}\right)$$

$$\omega_1 = \frac{2\pi}{T_1} = 4\pi$$

第一个零点: $\omega = n\omega_1 = \frac{2\pi}{\tau} = 40\pi$

第一个零点内谱线数 $n = \frac{40\pi}{\omega_1} = \frac{40\pi}{4\pi} = 10$, 即10次谐波为0。

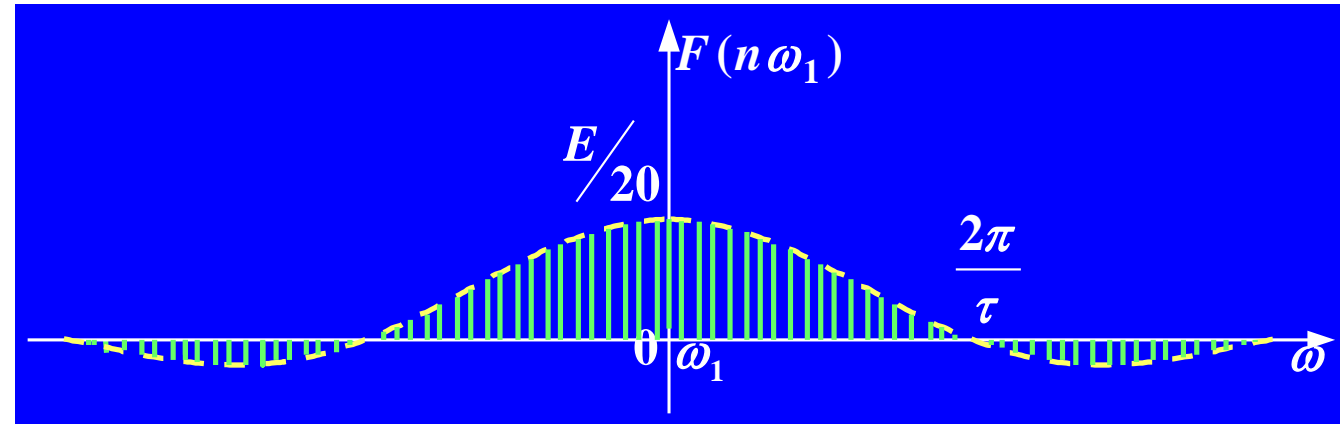


3.6 典型周期信号的傅里叶级数

$$(2) \tau = \frac{1}{20} s, T_1 = 1 s$$

$$F(n\omega_1) = \frac{E\tau}{T_1} Sa\left(n\omega_1 \frac{\tau}{2}\right) = \frac{E}{20} Sa\left(\frac{n\pi}{20}\right)$$

$$\omega_1 = \frac{2\pi}{T_1} = 2\pi$$



第一个零点: $\omega = n\omega_1 = \frac{2\pi}{\tau} = 40\pi$

第一个零点内谱线数 $n = \frac{40\pi}{\omega_1} = \frac{40\pi}{2\pi} = 20$, 即20次谐波为0。

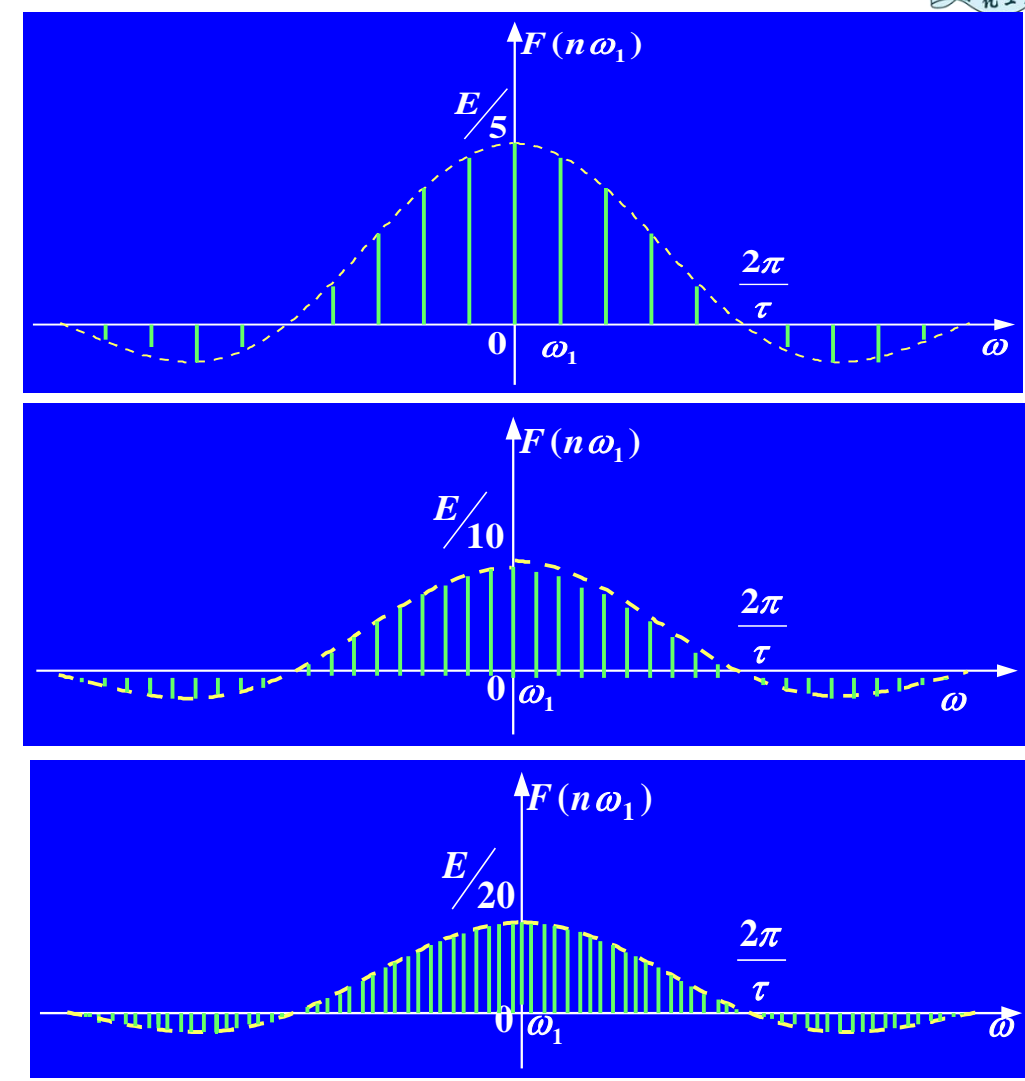
3.6 典型周期信号的傅里叶级数

矩形脉冲的频谱说明了周期信号频谱的特点：
离散性，谐波性，收敛性

其傅里叶级数随着周期的变换存在的特点：

$$T_1 \uparrow \Rightarrow \begin{cases} \text{幅度} \downarrow \\ \text{谱线间隔 } \omega_1 = \frac{2\pi}{T_1} \downarrow \end{cases}$$

当 $T_1 \rightarrow \infty$ 时， $\omega_1 \rightarrow 0$ ， $\frac{E\tau}{T_1}$ 为无限小，
 $f(t)$ 由周期信号 \rightarrow 非周期信号。



3.6 周期信号的平均功率

信息科学与技术学院

对于三角形式的傅里叶级数: $f(t) = a_0 + \sum_{n=1}^{\infty} (a_n \cos n\omega_1 t + b_n \sin n\omega_1 t)$

$$P = \frac{1}{T} \int_0^T f^2(t) dt = \frac{1}{T} \int_0^T \left[a_0 + \sum_{n=1}^{\infty} (a_n \cos n\omega_1 t + b_n \sin n\omega_1 t) \right]^2 dt$$

$$= a_0^2 + \frac{1}{2} \sum_{n=1}^{\infty} (a_n^2 + b_n^2) = a_0^2 + \frac{1}{2} \sum_{n=1}^{\infty} c_n^2 = a_0^2 + \sum_{n=1}^{\infty} \left(\frac{1}{\sqrt{2}} c_n \right)^2$$

对于指数形式的傅里叶级数: $P = \frac{1}{T} \int_0^T f^2(t) dt = \sum_{n=-\infty}^{\infty} |F(n\omega_1)|^2 = \sum_{n=-\infty}^{\infty} |F_n|^2$

总平均功率=各次谐波的平均功率之和

3.6 周期信号的平均功率

以 $\tau = \frac{1}{20}s, T_1 = \frac{1}{4}s$ 为例，取前 5 次谐波

$$P = \frac{1}{T} \int_0^T f^2(t) dt = \sum_{n=-\infty}^{\infty} |F(n\omega_1)|^2$$

$$P_{5n} = F^2(0) + |F(\omega_1)|^2 + |F(2\omega_1)|^2 + |F(3\omega_1)|^2 + |F(4\omega_1)|^2 \\ + |F(-\omega_1)|^2 + |F(-2\omega_1)|^2 + |F(-3\omega_1)|^2 + |F(-4\omega_1)|^2 = \mathbf{0.181E^2}$$

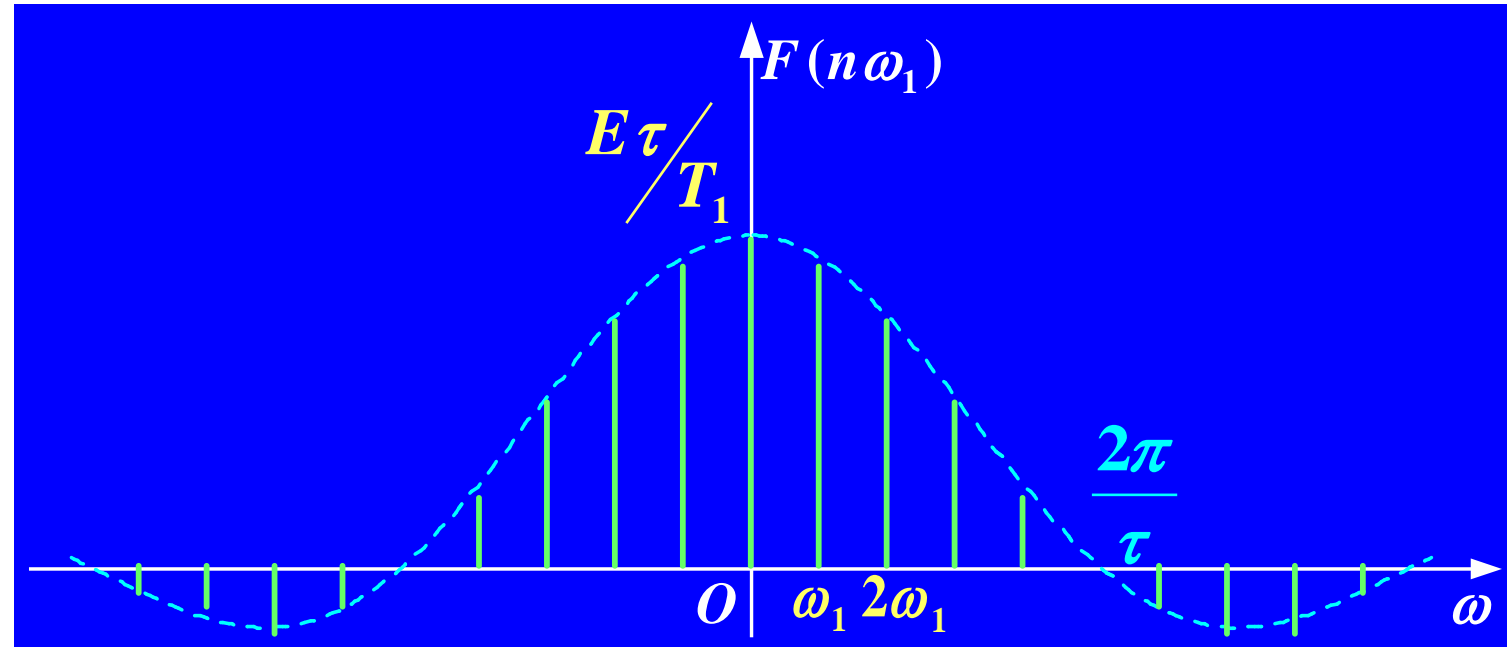
$$\text{总功率} = \frac{1}{T_1} \int_0^{T_1} f^2(t) dt = \mathbf{0.2E^2}$$

$$\frac{\text{前5次谐波平均功率}}{\text{信号总的平均功率}} = \frac{p_{5n}}{p} = \mathbf{90.5\%}$$

3.6 周期信号的平均功率



频带宽度



第一个零点集中了信号绝大部分能量（平均功率）
由频谱的收敛性可知，信号的功率集中在低频段。

3.6 信号的频带宽度

1、在一定失真条件下，信号可用某频率范围的信号来表示，此频率范围称为频带宽度。

2、一般把**第一个零点**作为信号的频带宽度。 $B_{\omega} = \frac{2\pi}{\tau}$ 或 $B_f = \frac{1}{\tau}$ ，带宽与脉宽成反比。

对于一般周期信号，将幅度下降为 $\frac{1}{10} |F(n\omega_1)|_{max}$ 频率区间定义为频带宽度。

3、系统的通频带>信号的带宽，才能不失真

语音信号	频率大约为	300~3400Hz,
音乐信号		50~15,000Hz,
扩大器与扬声器	有效带宽约为	15~20,000Hz。

3.7 本讲小结

